

232805

钟表齿輪啮合

[苏联]O.Φ.季申柯著

中南礦冶學院

圖書館藏



國防工業出版社

钟 表 齿 轮 噗 合

〔苏联〕 O. Φ. 季申柯著

魏亚果、安文长译



国防工业出版社

1965

內容簡介

本书詳尽地介紹了钟表齒輪噏合的特性，叙述了与钟表齒輪互換性有关的制造和檢驗問題，提供了研究钟表齒輪噏合的方法以及計算公差的基本原理。

本书供钟表工业的工程技术人员参考，也可供仪表制造专业的大学生閱讀。

ЧАСОВЫЕ ЗУБЧАТЫЕ ЗАЩЕПЛЕНИЯ

〔苏联〕 О. Ф. Тищенко

МАШГИЗ 1950

*
钟 表 齒 輪 噏 合

魏亚果、安文长譯

*
国防工业出版社出版

北京市书刊出版业营业許可证出字第 074 号

新华书店北京发行所发行 各地新华书店經售

国防工业出版社印刷厂印裝

*
787×1092 1/32 印張 4 1/8 87 千字

1965年4月第一版 1965年4月第一次印刷 印數：0,001—5,100

统一书号：15034·854 定价：(科七) 0.60 元

目 录

引言	5
钟表齿輪啮合的一般特性	11
第一章 钟表机构齿輪的制造	18
用多齿圓片銑刀銑切“精銑”钟表齿輪	20
第二章 多齿圓片銑刀和切制它的銑刀的基本 参数的計算	25
圓片銑刀的計算	25
指状銑刀基本参数的計算	36
形成多齿圓片銑刀齿形时指状銑刀中心的运动轨迹的确定	39
指状銑刀强度的驗算	41
形成圓片銑刀齿时的銑削长度 L 的計算和設計凸輪形状的要求	46
为了消除摆动齿輪齿形余量的規定	56
公法綫齿厚的檢驗 (适用于钟表齿輪)	61
第三章 理論和实际的钟表齿輪傳动的研究方法	67
研究钟表齿輪啮合的分析法	71
齿进入啮合角和退出啮合角的确定	83
研究钟表齿輪啮合的图解分析法	86
第四章 齒輪傳动諸元素中誤差影响的研究	99
齒輪傳动各个誤差对钟表机构工作的影响的质量鑒定	104
第五章 計算钟表齿輪傳动中的公差的基本原理	111
根据防止卡滯的条件計算公差的方法	112
按摆輪摆幅的允許偏差計算过輪和秒輪啮合要素的方法	113
附录——I~XVII 图	118

規 定 代 号

- z_1 ——輪片齒數；
 z_2 ——輪軸齒數；
 $z_{\phi 1}$ ——圓片銑刀齒數；
 $z_{\phi 2}$ ——指狀銑刀齒數；
 m ——模數；
 $r_{\partial 1}$ ——輪片節圓半徑；
 $r_{\partial 2}$ ——輪軸節圓半徑；
 r_c ——輪片齒頂弧中心圓半徑；
 r_{b1} ——輪片頂圓半徑；
 r_{b2} ——輪軸頂圓半徑；
 ρ_1 ——輪片齒頂弧半徑；
 ρ_2 ——輪軸齒頂弧半徑；
 $D_{\phi 1}$ ——圓片銑刀頂圓直徑；
 $D_{\phi 2}$ ——指狀銑刀最大直徑；
 $d_{\phi 2}$ ——指狀銑刀頸部直徑；
 d_B ——指狀銑刀有效截面上的圓周直徑；
 t_1 ——輪片節圓上的齒距；
 t_2 ——輪軸節圓上的齒距；
 s_1 ——輪片節圓上的齒谷寬度；
 S_1 ——輪片節圓上的齒厚；
 s_2 ——輪軸節圓上的齒谷寬度；
 S_2 ——輪軸節圓上的齒厚；
 h ——輪片厚度；
 l ——指狀銑刀切削部分長度；
 B ——指狀銑刀工作部分長度；
 A ——中心距；
 e ——接觸比；
 Ψ_1 ——在輪片齒根方向和中心連線間測得的輪片旋轉角；
 Ψ_2 ——在輪軸齒根方向和中心連線間測得的輪軸旋轉角(相當于 Ψ_1 角)；
 Ψ_{1c} ——在連接輪片齒頂弧中心與其旋轉中心的直線和中心連線間測得的輪片旋轉角；
 Ψ_{2c} ——在連接輪軸齒頂弧中心與其旋轉中心的直線和中心連線間測得的輪軸旋轉角；
 γ ——圓片銑刀齒前刃的傾斜角；
 ϑ ——圓片銑刀齒谷角；
 $\gamma_{\text{前}}$ ——圓片銑刀齒前角；
 $\gamma_{\text{后}}$ ——圓片銑刀齒後角；
 η ——指狀銑刀齒谷角；
 φ_i ——指狀銑刀齒的角距；
 τ_{ϕ} ——圓片銑刀的齒形余量；
 δ_f ——圓片銑刀的齒形公差；
 δd_B ——指狀銑刀有效截面上外接直徑的公差。

● 見圖13、16、41、42和43。

引　　言

目前在精密仪器制造业中，特别是在按完全互换性原则进行的钟表生产方面，组织大量和成批生产有一系列的困难，尤其是在装配工序上。其中某些困难出现在制造精度高、尺寸小而形状复杂的零件（例如小模数的钟表齿轮）时的机械加工工序中。

这些困难是由于保证完全互换性原则的设备不够完善而引起的。

加工小直径轴和孔用的现有各种型式机床质量的最好特性数值，是直径尺寸的散差范围与直径值本身的比值。以字母 K_A 和 K_B 表示此比值，则：

$$\text{加工孔时, } K_A = \frac{\delta_A}{d},$$

$$\text{加工轴时, } K_B = \frac{\delta_B}{d},$$

式中 δ_A 和 δ_B ——分别为加工轴和孔时的直径公差（假定等于散差范围）；

d ——直径值。

表 1 中所列为用典型方法加工孔时这些数值的百分值，表 2 中所列为加工轴时这些数值的百分值。

在计算直径范围为 $0.1 \sim 0.3$ 、 $0.3 \sim 0.6$ 和 $0.6 \sim 1$ 的 $\frac{\delta_A}{d}$ 和 $\frac{\delta_B}{d}$ 值时，通常认为 δ_A 和 δ_B 值也像 OCT 公差制中从 1 到 3 毫米范围所规定的数值一样仍保持不变。这一点已由

表 1

精度等級	加工方法	直徑範圍, 毫米									
		0.1	0.3	0.6	1~3	3~6	6~10	10~18	18~30	30~50	50~80
		~	~	~1							
		0.3	0.6								
1	拋光, 金剛石鑽孔	3	1.33	0.75	0.3	0.178	0.113	0.079	0.054	0.038	0.028
2	磨削, 手動鉸孔	5	2.22	1.25	0.5	0.29	0.20	0.136	0.096	0.068	0.046
3	钻孔, 機動鉸孔	10	4.45	2.5	1.0	0.556	0.375	0.25	0.188	0.125	0.092
4	钻孔	30	13.3	7.5	3.0	1.78	1.25	0.858	0.584	0.425	0.308

表 2

精度等級	加工方法	直徑範圍, 毫米									
		0.1	0.3	0.6	1~3	3~6	6~10	10~18	18~30	30~50	50~80
		~	~	~1							
		0.3	0.6								
1	精磨, 抛光	2	0.89	0.5	0.2	0.111	0.075	0.057	0.037	0.028	0.020
2	磨削	3	1.33	0.75	0.3	0.178	0.125	0.086	0.058	0.042	0.031
3	精車	10	4.45	2.5	1.0	0.556	0.375	0.25	0.188	0.125	0.092
4	粗車	30	13.3	7.5	3.0	1.78	1.25	0.858	0.584	0.425	0.308

列寧格勒精密机械和光学研究所 (ЛИТМО) 的研究工作所証实。根据研究結果, 直徑小于 1 毫米时, 公差值 (或尺寸散差) 不依名义直徑尺寸为轉移。按表 1 和表 2 数据所繪制的 $\frac{\delta_A}{d}$ 和 $\frac{\delta_B}{d}$ 值随直徑变化的曲綫示于图 1。

这些曲綫明显地表明, 当过渡为小直徑范围时, 孔和軸的各种不同加工方法的誤差占有怎样的比重。中等直徑范围时的誤差为百分之零点零几, 而小直徑范围时的誤差已达到百分之几。无论是否专用的钟表机床, 还是自动机床, 都不能使

0.1~1毫米小尺寸範圍內的 $\frac{\delta_A}{d}$ 和 $\frac{\delta_B}{d}$ 值有任何明显的減少，这一点已由研究不同机床上的尺寸散差值的結果所証实[1]。

在精密仪器制造业中，切削工具的誤差可能达到很大的数值。造成这些誤差的原因是：刀具的几何参数制造得不精确，刀具在工作过程中有彈性变形，刀具在机床上固定得不正确而引起摆动，切削刃在工作过程中磨損以及在以后刃磨时刀刃几何形状发生畸变等。

每一种型式切削工具的原始几何参数的允許不精確度，并非任意規定的，而是根据該刀具所加工工件的公差值予以規定的。此时，刀具精度越高，则零件公差值用来补偿刀具在工作过程所产生的偶然誤差的部分就越大。

但是，在某些情况下，主要是在加工孔或用滾切法銑切小模数钟表齒輪时，关于工件可达到的精度的概念远远不限于刀具本身的精度，因为此时由刀具所引起的偶然性誤差有时可能超过刀具的系統性誤差。例如，用机动鉸刀加工孔时，在工件和刀具完全沒有由于装卡偏心而产生摆动的情况下，孔的偏差值取决于所用潤滑油的品級（不加潤滑油鉸孔时，孔徑的偏差最大）。

銑切钟表齒形齒輪用的滾刀，可以作为另一个例子。磨削这种形状复杂而又极小齒形的滾刀，在技术上有許多困难，因而，除了这些滾刀制齿时产生的齒距畸变以外，还有由于淬火变形而引起的畸变。这些畸变，甚至在刀具和毛坯相对其旋轉軸綫完全沒有摆动的情况下，也不可避免地会引起齒輪周节的畸变。可見，刀具齒距誤差同齒輪齒距誤差之間有直接关系。当被切齒輪的齒距大大减小时，滾刀上的刀齒難

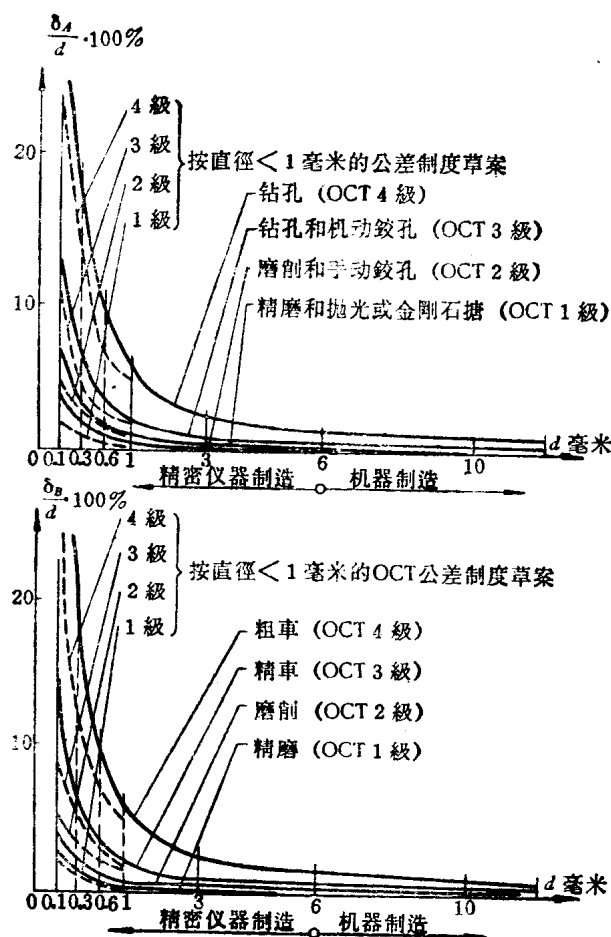


图 1

免偏斜，齿形变化将达到很大的尺寸。

此外，絲錐的使用也可以作为一个典型的例子。絲錐以磨削和切制的方法制成为各級精度的，但其中沒有任何一級精度能保証螺母螺紋的一定精度等級，因为螺母螺紋中徑的偏差值不仅取决于絲錐中徑的精度，而且主要是取决于工件和絲錐軸線的总偏心值。

非磨削絲錐及銑切齒輪的齒輪滾刀的齒距誤差的一般特性，可以采用在有关研究中得到証实并由 OCT/BKC 7217 加以規定的誤差极限值（表 3）。这些数据表明，齒距偏差的誤差絕對值和齒形半角的允許偏差，随着螺距的减小，即随着滾刀所加工的齒輪模數的減小而大大增加。表中所列的齒距值，包括钟表齒輪中采用的所有小模數，即大約从 0.08 到 0.5 毫米。

在銑切钟表齒形的齒时，滾刀齒形半角的誤差会使被銑切的齒輪上出現不对称的齒。被銑切齒輪的模數越小，这种不对称度可能越大。

因此，綫性尺寸的誤差，特別是角度的誤差，是随着名义尺寸的减小而变大的，因而使得配合尺寸小而精度等級高的零件难以实现完全的互换性。

这些誤差虽然也表示出了主要类型設備的不精确度，然而却不能作为小尺寸范围的公差制度的基础，因为表 1 和表 2 中所列誤差的相对值很大，而这样大的数值是对机构的結構提出的技术要求和使用要求所不能允许的。

在配合尺寸极小的許多运动付中，这些誤差可能引起配合尺寸的运动特性和动力特性发生显著变化：这些尺寸的名义值越小，誤差就可能越大。这一点正是精密仪器制造同机械

表 3

螺 距 (毫米)	0.2	0.25	0.3	0.35	0.4	0.45	0.5	0.6	0.7	0.75	0.8	1	1.25	1.5	1.75	2	3
在10毫米以內的长度上螺距的 极限偏差(微米)	40	40	40	40	30	30	30	30	30	30	30	30	30	30	30	30	30
齿形半角的允许偏差(分)±…	75	75	75	70	65	65	60	50	45	45	40	40	35	35	30	25	25

制造的重要区别之一。

制定小尺寸范围的公差制度时，应从对工作机构和配合副在制造过程中难免出现的误差进行深刻的分析为出发点。但是，现有的工艺过程本身并不是在所有情况下都能保证这样规定的公差。因此，仪器和钟表机构的组件装配，在一些情况下全部按完全互换性原则进行，而在另一些情况下按不完全互换性用选配法进行。同时，在仪器制造中，特别是在钟表生产中，有一些特定的工艺工序能保证某些配合的完全互换性。这些工序包括：用多齿圆片铣刀精铣钟表齿轮，以及校准钟表机构铂夹板和桥夹板上的孔。

此外，在钟表机构生产中，还采用着一些极为特殊的方法，借以准确地实现所需特性的连接。

仿形法就是此类方法中的一种。用仿形法时，一个零件（例如轴颈）作为靠模，按照它加工另一零件上的配合部位，即与轴颈配合的孔。

仿形法的缺点是生产效率低。这种方法是临时性的，当制造方法进一步改进到能够保证在完全互换性条件下所需的连接特性时，或是在广泛使用自动的检验分类工具来选配其尺寸符合所需配合特性的零件时，这种方法就无需再用了。

如果说组织小尺寸圆柱连接的可互换生产的途径已经确

定并在公差制度中得到了反映，则在小模数齿輪啮合中，特别是在钟表齿輪啮合方面，現在还没有据此能够确定齿輪要素及其安装要素的公差的研究。实现齿輪啮合的精度問題，是钟表机构中的中心問題。与解决此問題有关的，还有实现鉗夹板和桥夹板上装輪系的孔中心距的精度問題、钻石的允許偏心距以及确定齿輪軸頸在钻石孔中的配合特性等問題。

现有对钟表齿輪啮合的研究，仅限于理論啮合，即理想啮合的分析，而沒有考虑到制造时可能产生的各种誤差。对于模数小，因而齿的尺寸也小的齿輪來說，这些誤差的影响比对于大模数和中等模数齿輪的影响要大得多，因此，实际的小模数齿輪傳动与其理論原型相差的程度要比普通模数齿輪的大得多。这种一般的啮合誤差，只有在仔細地查明傳动的运动特性和动力特性的允許偏差之后，才能用公差給以限制。这里也像小尺寸圓柱連接一样，应以对齿輪啮合提出的技术使用要求作为基础来确定公差，此外，还应考虑到制造齿輪的現有設備能否达到这些公差。

钟表齿輪啮合的一般特性

在钟表齿輪机构中广泛采用所謂钟表齿輪啮合，即原来的摆線啮合作了某种簡化。

在钟表机构中采用摆線啮合（图 2）是由机构傳动比较大而外形尺寸小所决定的，这两个条件要求从动輪（輪軸）的齒數較少（通常由 6 到 20）。在钟表机构所采用的摆線啮合中，齿輪的齒頂是外摆線，而齒根是內摆線——直線，当母圓半徑等于基圓半徑的一半，即

$$r_2 = \frac{1}{2}R_2, \text{ 而 } r_1 = \frac{1}{2}R_1 \text{ 时，}$$

式中 R_1 和 R_2 ——基圆半径, r_1 和 r_2 ——母圆半径。

制造这种摆线齿形, 特别是制造刀具(摆线齿形的滚刀和多齿圆片铣刀)的齿形, 在工艺上有很大的困难。

因此, 曾对摆线齿形作了改变, 从而得到了便于制造的

简单形状。这种改变是用圆弧线(图3和4)来代替轮片和轮轴齿顶的摆线弧线。

应当指出, 图3所示的齿轮齿形是不完全合理的, 因为在齿的A点上, 齿形直线部分突然地过渡到弧线部分, 致使制造齿轮时发生困难, 并

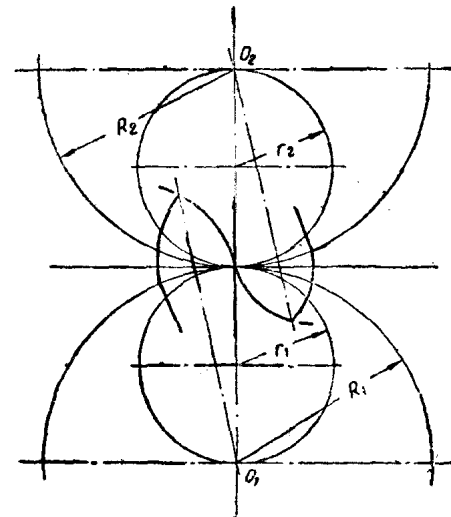


图 2

且在齿轮以后工作时, 产生剧烈的磨损[9]。

齿轮齿顶均匀地过渡到齿根, 才是比较正确的齿形(图5)。

这种齿形, 无论在制造方面, 还是在齿轮实际钟表啮合的工作条件下, 都具有不少优点。

此外, 钟表齿轮的结构形式与机器制造业中的齿轮不同。钟表机构的大多数齿轮是由两个压合零件——即通常由薄黄铜板制成的轮片和由钢制成的轮轴组成。

图6所示为钟表机构齿轮的典型结构。

为了計算钟表齿輪輪片和輪軸的名义尺寸，有一系列不同的公式、表格和曲綫图(5)。

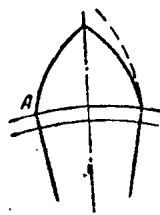


图 3

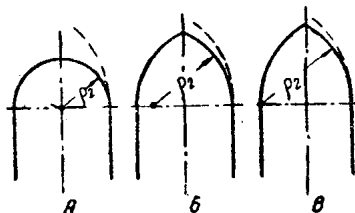


图 4

对于啮合來說，最重要的尺寸是輪片和輪軸的中心距及齒頂的圓弧半徑。

当以輪片和輪軸的模数和齿数作原始参数时，則按下列公式求中心距：

$$A = \frac{m(z_1 + z_2)}{2},$$

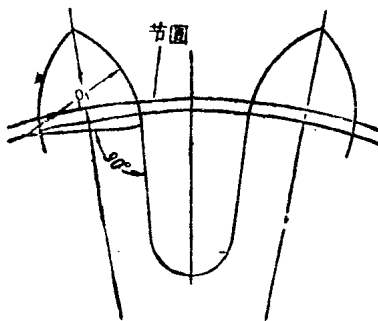


图 5

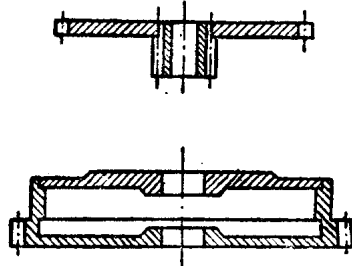
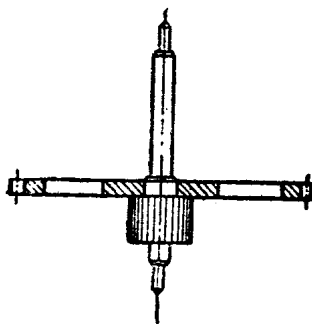


图 6

但是有时用中心距和齿数作为原始参数，此时则按下列公式求模数：

$$m = \frac{2A}{z_1 + z_2}.$$

輪片齒頂圓的圓弧半徑按下列公式計算：

$$\rho_1 = 0.7 \cdot m \cdot f,$$

式中 m ——模数， f ——系数，此系数根据輪軸齿数和傳动比决定[6]，其数值見表 4。

表 4

傳 动 比 輪 軸 齒 数	5		6		7		8		9	
	f	ρ								
6	2.72	1.90	2.74	1.92	2.75	1.92	2.76	1.93	2.77	1.94
7	2.87	2.01	2.89	2.02	2.90	2.03	2.91	2.04	2.92	2.04
8	3.01	2.11	3.03	2.12	3.05	2.13	3.06	2.14	3.09	2.16
9	3.16	2.21	3.17	2.22	3.19	2.23	3.21	2.23	3.24	2.27
10	3.29	2.30	3.31	2.32	3.34	3.34	3.36	3.35	3.40	2.38
12	3.54	2.48	3.57	2.50	3.60	2.52	3.63	2.54	3.67	2.57
14	3.76	2.63	3.79	2.65	3.83	2.68	3.86	2.69	3.90	2.73
15	3.85	2.69	3.89	2.72	3.92	2.74	3.95	2.76	4.00	2.80
16	3.93	2.75	3.97	2.78	4.01	2.81	4.04	2.83	4.10	2.87

系数 f 的值，还可用于計算輪片齒頂的理論高度 h_1 ，其公式为 $h_1 = 0.5 \cdot f \cdot m$ 。在实际工作中，輪片的齒頂高度最好选得稍微小些，即：

$$h_1 = 0.95 \cdot 0.5 \cdot f \cdot m.$$

至于輪軸，限制齒頂的圓弧半徑值，可以用下列公式中的任一公式計算：

$$\rho_2 = -\frac{1}{2} S_2;$$

$$\rho_2 = \frac{2}{3} S_2;$$

$$\rho_2 = \frac{5}{6} S_2;$$

$$\rho_2 = S_2.$$

作者的研究結果表明，輪軸齒頂的半徑值由 $0.5S_2$ 变化到 S_2 ，与其他参数（如中心距或周节等的变化）比較起来，对傳动比的影响不大。

当以圓弧線代替輪片和輪軸的齒頂的外摆線弧線时，必須遵守下列要求。

选择輪片齒頂圓半徑的条件是：使此圓尽可能地接近原来的理論外摆線（在图 3 和图 4 上，外摆線弧線以虛線表示），以便当輪片齒頂沿輪軸齒根工作时，在嚙合時間最长的部分上，与理論嚙合的偏離最小。

輪軸齒頂的圓半徑应这样选择：使嚙合开始点向中心連線作某一偏移，此时在中心連線后面的嚙合工作部分相应地有所增加。这样，便縮短了輪片在大滑动比条件下的工作，因为大滑动比主要是出現在中心連線之前。

輪軸齒形 A (見图4)現已过时，只在廉价的钟表机构中采用。齒形 B 和 C，在优质钟表机构中最常采用，其中齒形 B 更为完善，因为其限制齒頂的半徑 $\rho_2 = S_2$ 的圓弧最接近于外摆線。

齒頂形状作了上述簡化的輪片和輪軸所組成的齒輪嚙合，其特点是嚙合中不可能有两对齿同时工作，即該嚙合的接触比等于 1 ($\varepsilon = 1$)。

这是因为，輪片和輪軸的齒頂形状偏离了理論形状，致在齒輪工作时破坏了傳动比的恒定性。結果，一对齿工作的結束时期和下一对齿进入嚙合的开始时期将在不同的角速度

下发生，所以第一对齿退出啮合和第二对齿进入啮合是同时发生的，这种啮合是单齿啮合。

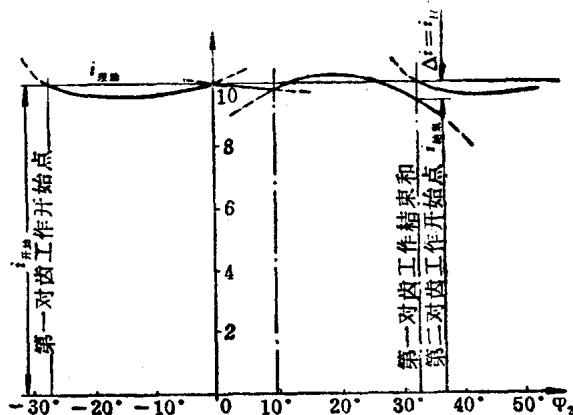


图 7

图 7 示例为“胜利”牌手表秒輪齿 ($z = 60, m = 0.099$ 毫米) 与导輪輪軸齒 ($z = 6$) 噬合时傳动比的变化特性。

由图 7 看出，当旋轉运动由輪片傳到輪軸时，傳动比的变化分为两种：在齿对啮合时发生的連續变化和由一对齿过渡到另一对齿时突然发生的断續变化，然而仍然是一对齿啮合。

通常，齿进入啮合时的傳动比数值 i_H 大于啮合結束时傳动比的数值 i_K 。

当齒輪傳動的某些要素中有誤差时，傳动比的变化 $\Delta i = i_H - i_K$ 会显著地增加。图 8 所示为“胜利”牌手表秒輪 噬合时 i_H 、 i_K 和 Δi 的变化与中心距誤差的关系曲綫，图 9 所示为相同嚙合时 i_H 、 i_K 和 Δi 的变化与輪片齒頂弧 (r_c) 中心所在圓的半徑誤差的关系曲綫。

必須指出，在有理論共轭齿形的实际傳动中，不論其类